

九州大学工学部 正員 椿 東一郎

" " 平野 宗夫

建設技術研究所 " ○右田 真

### 1. 緒言

貯水池内の堆砂による段丘前面の流れや砂堆前面の流れは段落部の流れとして取り扱うことができる。本文は、段落部における流れの特性を拘束された流れの場における噴流と類似の現象であると考え、運動量の式を適用して段落部における流れの特性を解析しようとしたものである。また、流れに浮流砂が混在している場合、浮流砂の一部は段落部の渦領域に与えられて堆積し、段丘や砂堆の進行速度に影響を与えるので、段落部における浮流砂のまきこみ量についても若干の実験を行ったので以下に報告する。

### 2. 実験装置と方法

実験に用いた水路は幅 60 cm で右図に示すように、下流端に微伏堰を設置し、この堰で水位を調節して段上の水深  $h_0$  と段落の高さ  $D$  の比  $D/h_0$  を自由に変えられるようになっている。はく離領域の長さ  $l$  は底面にはりつけた糸のひびき方と色素注入により reattaching point を見つけて測定した。また、上流端の sand feeder より一定量の石炭粉(比重 1.38,  $d_{50} = 0.6 \text{ mm}$ )を供給し、渦領域の中に沈んでいた石炭粉をサイフォンで採取して測定し、摩擦速度  $U_s$  は Poreston tube によく測定した。

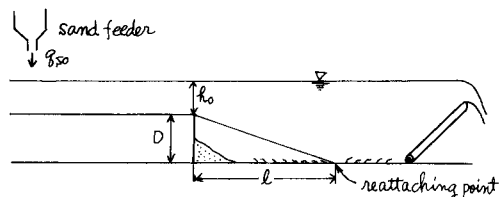


図-1 実験装置説明図

3. はく離領域の性状

#### 3.1 解析のモデル

図-2 に示すような流れのモデルを考える。図にははく離領域の長さ  $l$  が potential core の長さ  $l_p$  より大きい  $l > l_p$  の場合だけが示されているが  $l < l_p$  の場合も取扱いに本質的な差はないので、

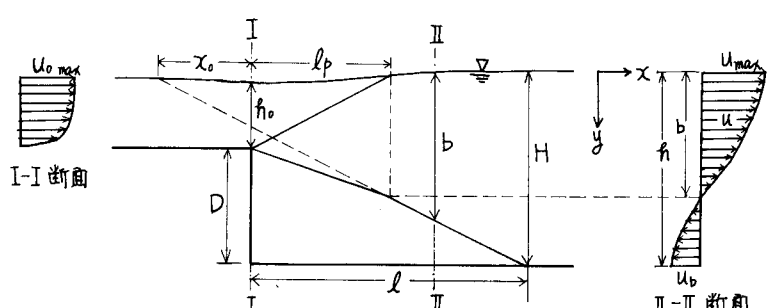


図-2 Flow Model 図

以下には  $l > l_p$  の場合だけを示すことにする。流速分布は噴流域に対して相似性を仮定して次のようになる。

$$\left. \begin{aligned} \text{噴流域} (0 \leq y \leq b) \quad \frac{u}{u_{\max}} &= f_1(\eta), \quad \eta = 1 - \frac{y}{b} \\ \text{逆流域} (b \leq y \leq h) \quad \frac{u}{u_b} &= f_2(\eta, \xi), \quad \eta = \frac{y-b}{h-b}, \quad \xi = \frac{x}{h_0} \end{aligned} \right\} \dots \dots (1)$$

### 3.2 基礎式

自由噴流においては噴流域で運動量が保存されかが、図-2のように境界で拘束された流れにおいては噴流域と逆流域の境界に応力を生じ、噴流域内で運動量が保存されない。図-2の断面I, II間に連続の式と運動量の式を適用すると、次の2式が得られる。

$$\frac{U_{max}}{U_0} \frac{b}{h_0} C_1 - \frac{U_0}{U_0} \frac{b-h}{h_0} D_1 = 1 \quad \dots \dots (2)$$

$$\left( \frac{U_{max}}{U_0} \right)^2 \frac{b}{h_0} C_2 + \left( \frac{U_0}{U_0} \right)^2 \frac{b-h}{h_0} D_2 = \beta_0 + \frac{1}{2F_0^2} \left\{ \left( 1 + \frac{D}{h_0} \right)^2 - \left( \frac{b}{h_0} \right)^2 \right\} \quad \dots \dots (3)$$

$\therefore K, U_0$ : 断面Iにおける平均流速、 $\beta_0$ : 断面Iにおける運動量の補正係数、 $F_0 = U_0^2 / gh_0$

$C_1 = \int_0^l f_1(\eta) d\eta, C_2 = \int_0^l f_2(\eta) d\eta, D_1 = \int_0^l f_1(\xi, \eta) d\eta, D_2 = \int_0^l f_2(\xi, \eta) d\eta$  で、その他の記号は図-2に示されている通りである。

### 3.3 はく離領域の長さ $l$

reattaching point ( $x=l$ ) においては  $b=H=h$  であるから、式(2), (3)より  $U_{max}/U_0$  を消去して、

$$\frac{H}{h_0} = \sqrt{h_*^2 + 2F_0^2\beta_0 - 2F_0^2\beta_1 / (h_* + \Delta h/h_0)} \quad \dots \dots (4)$$

$\therefore K, h_* = 1 + D/h_0, \beta_1$ : 噴流域の運動量補正係数で  $\beta_1 = C_2/C_1^2, \Delta h = H - (h_0 + D)$

噴流においては  $dh/dx = const.$  と考えられるとから、 $l/h_0$  と  $H/h_0$  の間に直線関係が予想される。そこで、式(3)より求めた  $H/h_0$  と  $l/h_0$  の実測値をプロットすると図-3のようになり、描査はほぼ直線状に成っている。図より、次式の係数の値を求める。

$$\frac{l}{h_0} = \Gamma \left\{ \sqrt{h_*^2 + 2F_0^2\beta_0 - 2F_0^2\beta_1 / (h_* + \Delta h/h_0)} - \frac{x_0}{h_0} \right\} \quad \dots \dots (5)$$

を求めると、 $\Gamma = 7.3, x_0/h_0 = 1.0$  となる。

$F_0^2 \rightarrow 0$  の場合は簡単に成る。

$$\frac{l}{h_0} = \Gamma \left( h_* - \frac{x_0}{h_0} \right) \quad \dots \dots (6)$$

また、式(5)において  $l=x, H=b$  と書きかえると噴流幅  $b$  に対して次式がえられる。

$$\frac{b}{h_0} = \frac{1}{\Gamma} \left( \frac{x}{h_0} + \frac{x_0}{h_0} \right) \quad \dots \dots (7)$$

### 3.4 断面流速の減衰

表面流速の測定結果は図-4に示されている。それによると、 $D/h_0 = 1$  の場合は石原・高木の開水路急拡部における実験結果と一致したが、 $D/h_0$  の値により減衰特性が異なり、 $D/h_0$  が小さい程減衰が早く始まる傾向を示している。また、減衰の様態も自由噴流とはやや異なるようである。

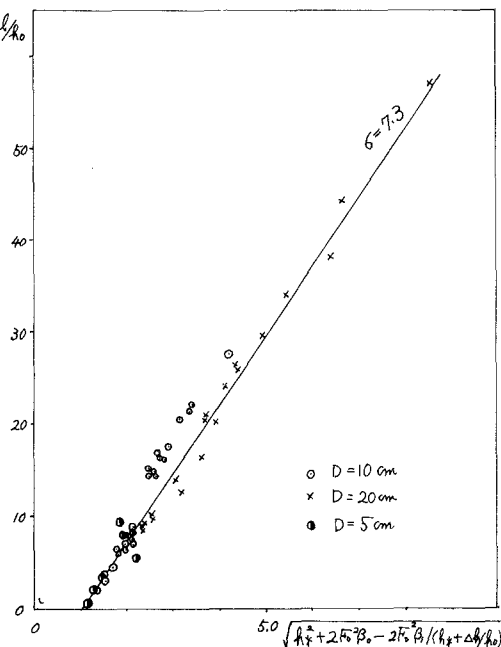


図-3 はく離領域の長さ

式(2), (3)より  $U_b$  を消去すると次式が得られる。

$$\frac{U_{max}}{U_{0max}} = \frac{\beta_2}{r_0 G \beta_1} \frac{1}{x} + \frac{1}{r_0} \sqrt{\frac{\beta_0}{G \xi_b}} \frac{\sqrt{x - \beta_2/\beta_1}}{x} \sqrt{x - \xi_b \beta_2/\beta_1} \quad |$$

$$\chi = h_* - \xi_b (1 - \beta_2/\beta_1) + \Delta h/r_0, \quad \beta_0' = \beta_0 + \frac{h_*}{r_0^2} \frac{\Delta h}{\beta_0} \quad |$$
..... (8)

$\therefore K, U_{0max}$ : 断面工における表面流速,  $\xi_b = U_{0max}/U_0 = 1 + 2.5/\varphi$ ,  $\varphi = V/U_0$

上式に式(6)を入れ、本実験での値  $\beta_0 = 1.03$ ,  $r_0 = 1.13$ ,  $V = 7.3$  と Tollmien の自由噴流に対する流速分布より求めた  $\beta_1$  を用い、 $\beta_1/\beta_2 = 1.3$  として計算すると、図-4 に示すような線Kは1、計算値と実測値はかなりよく合っている。

$h_* \rightarrow \infty$  (すなわち自由噴流) のとき、式(8)の

$$\frac{U_{max}}{U_{0max}} = \frac{1}{r_0} \sqrt{\frac{\beta_0}{G_2 \xi_b}} = K_0 \sqrt{\frac{2r_0}{x+x_0}} \quad |$$

$$K_0 = \frac{1}{r_0} \sqrt{\frac{\beta_0 V}{2C_2}} \quad | \quad ... (9)$$

となり、周知の自由噴流の式となる。今、 $\beta_0$ ,  $r_0$  に前記の値を用い、 $C_2$  として Tollmien の流速分布式より求めた  $C_2 = 0.286$ 、 $V$  および Schlichting の流速分布式より求めた  $C_2 = 0.416$  を用いて  $K_0$  を計算すると、それぞれ  $K_0 = 3.21$  (Tollmien),  $K_0 = 2.61$  (Schlichting) と  $T_0 = 1$ , Albertson の実験値  $K_0 = 2.28$  よりやや大きめの値が得られる。

また、 $\xi_b \rightarrow h_* + \Delta h/r_0$  (すなわち reattaching point の極近傍) のとき

$$\frac{U_{max}}{U_{0max}} = \frac{1}{r_0 G \xi_b} = \frac{V}{r_0 C_1} \cdot \frac{r_0}{x+x_0} \quad | \quad ... (10)$$

となり、reattaching point の近くでは、表面流速は距離に逆比例するといえる。

### 3.5 Potential core の長さ

Potential core の領域では  $U_{max} = U_{0max}$  であるから、式(2), (3) より次式が得られる。

$$\xi_b = \frac{1}{r_0^2 C_1 (\beta_1 - \beta_2)} \left[ \frac{1}{2} \left( \beta_1' + \xi_b^2 G h_* \right) - r_0 \beta_2 C_1 - \sqrt{\left\{ \frac{1}{2} \left( \beta_1' + r_0^2 C_2 h_* \right) - r_0 \beta_2 C_1 \right\}^2 - r_0^2 C_1 (\beta_1 - \beta_2) (\beta_1' h_* - \beta_2)} \right] \quad ... (11)$$

また、式(7)において  $x = l_p$  とおこう

$$\frac{l_p}{r_0} = V \left( \xi_b - \frac{x_0}{r_0} \right) \quad ... (12)$$

となる。式(12)に式(11)を代入すると  $l_p/r_0$  が得られる。 $r_0, \beta_0, \beta_1/\beta_2, V$  等に前記の値を用い、 $C_1, C_2$  と Tollmien の流速分布式より求めて、式(11), (12)より  $l_p/2r_0$  を計算すると図-5 のようになる。それによると、 $D/r_0$  が小さくなる  $l_p/2r_0$  も小さく、 $D/r_0$  が増大するにつれて  $l_p/2r_0$  も増えているが

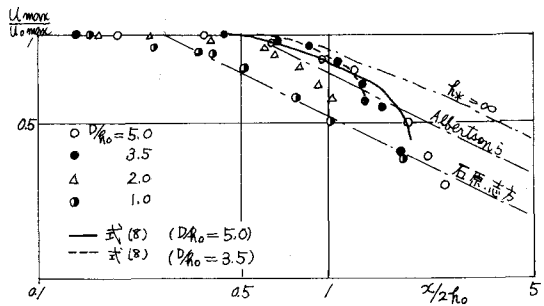


図-4 表面流速の递減

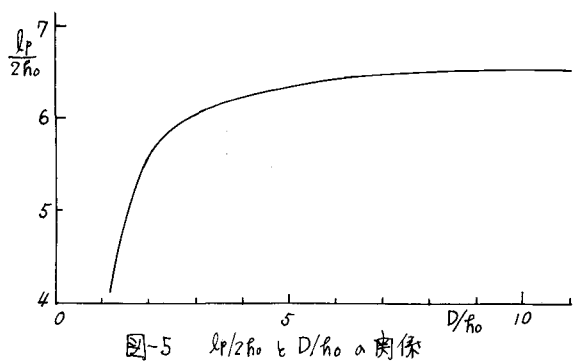


図-5  $l_p/2r_0$  と  $D/r_0$  の関係

これは図-4の表面流速の遮減開始位置の傾向をよく示している。

次に、式(11)において  $h_* \rightarrow \infty$  (自由噴流) とすると  $\xi_b = 1/\tau_0^2 C_2$  となり、  $\xi_b \rightarrow h_*$  ( $l \rightarrow l_p$ ) とすると  $\xi_b = 1/\tau_0 C_1$  となるので、  $\tau_0 = 1.13$ ,  $\tau = 7.3$ ,  $x_0/l_p h_0 = 1.0$  にて  $l_p/2h_0$  を求めると次のようになる。

$$h_* \rightarrow \infty \text{ の場合 } \frac{l_p}{2h_0} = \begin{cases} 6.6 & (\text{Tollmien の } C_2 = 0.283 \text{ を用いた場合}) \\ 3.4 & (\text{Schlichting の } C_2 = 0.416 \text{ " }) \\ (\text{Albertson らの実験で } l_p/2h_0 = 5.2) \end{cases}$$

$$\xi_b \rightarrow h_* \text{ の場合 } \frac{l_p}{2h_0} = \begin{cases} 4.1 & (\text{Tollmien の } C_1 = 0.416 \text{ を用いた場合}) \\ 2.2 & (\text{Schlichting の } C_1 = 0.550 \text{ " }) \end{cases}$$

#### 4. 混流砂のまきみ

渦領域に沈殿する浮遊砂の量  $g_{sf}$  、  $y=b$  における浮遊砂濃度を  $C_0$  、 上向き流速成分をひくとすると

$$g_{sf} = \int_0^l \left\{ (w_0 - v) - E_s \left( \frac{\partial C}{\partial y} \right)_{y=b} \right\} dx \quad \dots \dots (14)$$

ここで、  $E_s$  : 砂粒の拡散係数である。実験結果によると、同一水理条件においては、供給浮遊砂量  $g_{so}$  を変化させても渦領域に沈殿する量の割合  $g_{sf}/g_{so}$  は殆んど変化しない。従って、同一水理条件のもとでは濃度  $C_0$  は  $g_{so}$  に比例すると考えられるから、次の関係が予想される。

$$C_0 = C_{of} f_1(x/h_0), (\partial C / \partial y)_{y=b} = C_{of} f_2(x/h_0) = C_{of} f_3(x/h_0) \quad \dots \dots (15)$$

ここで、  $C_{of}$  は段落上における浮遊砂の底面濃度で、濃度分布として Lane-Kalinake の式を用いたと

$$C_{of} = \frac{g_{so}}{P \cdot g}, \quad P = \int_0^l \left[ 1 + 2.5 \frac{U_*}{V} (1 + \log \eta) \right] e^{-15 \frac{V}{U_*} \eta} d\eta \quad \dots \dots (16)$$

また、  $V \approx U_{man} \cos \theta_0$ ,  $E_s \approx B_{man} \cos \theta_0 U_{man}$  で、かつ、  $U_0 \approx U_*$  であるから、式(14)に式(15),(16)を代入する。

$$\frac{g_{sf}}{g_{so}} = \frac{1}{P g} \frac{w_0}{U_*} \frac{l}{h_0} \left[ \int_0^l f_1 \left( \frac{x}{h_0} \right) dx - K \frac{U_*}{w_0} \int_0^l f_3 \left( \frac{x}{h_0} \right) dx \right] \quad \dots \dots (17)$$

である。  $K$  は定数である。従って、  $g_{sf}/g_{so}$  は  $w_0/U_*$ ,  $l/h_0$  の関数であると考えられる。

図-6は実験結果をプロットしたものである。それによると、  $g_{sf}/g_{so}$  の  $w_0/U_*$  が同じ値の場合  $l/h_0$  の増加とともに漸増しているが、変化の割合は小さく、主として  $w_0/U_*$  に規定されることがわかる。

#### 5.まとめ

以上を要約すると次のようである。

1)段落部の流れを噴流と類似の現象と考え、はく離領域の長さ  $l$  を求めた式、表面流速遮減の式および potential core の長さを求める式を導いた。

2)段落の渦領域に沈殿される浮遊砂量の割合について実験を行った。

#### 参考文献

1)石原志方：開水路急拡部の水理学的性状に関する研究、土木学会論文集 第120号 1966

2)Albertson S: Diffusion of submerged jet. Trans. A.S.C.E. Vol 115, 1948

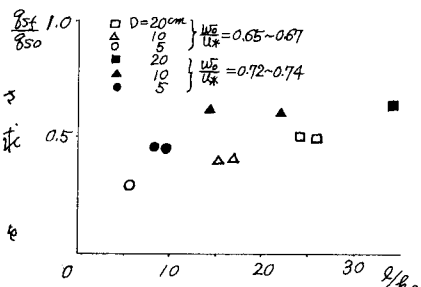


図-6  $\frac{g_{sf}}{g_{so}}$  と  $\frac{h_0}{h_w}$